

تخمین کریپ کمپلینس مخلوط های آسفالتی با استفاده از شبکه های عصبی مصنوعی

ابوالفضل حسنی^{*} و علی حیدری پناه^۲

^۱دانشیار دانشکده مهندسی عمران - دانشکده فنی و مهندسی - دانشگاه تربیت مدرس

^۲دانشجوی دکتری مهندسی عمران - دانشکده فنی و مهندسی - دانشگاه تربیت مدرس

(تاریخ دریافت ۸/۱۱/۲۱ تاریخ تصویب ۰/۴/۸۷)

چکیده

یکی از آزمایش‌های اساسی در فرایند طراحی روسازی‌های انعطاف‌پذیر به روش مکانیستیک- تجربی در آشتو ۲۰۰۲، آزمایش کریپ کمپلینس است. در این تحقیق مدلی جدید برای تخمین کریپ کمپلینس مخلوط‌های آسفالتی با استفاده از شبکه‌های عصبی مصنوعی پرسپکترون چند لایه، با تکنیک آموزش لونبرگ- مارکوات، با توان تعیین پذیری $R=0.949$ ، با موقوفیت ارائه شده است. این مدل ۱۴ ورودی شامل درصد‌های عبوری انتخابی از منحنی دانه‌بندی و نیز درصد قیر، درجه نفوذ قیر در ۷۷ و ۱۱۵ درجه فارنهایت، اندايس نفوذ قیر و دمای آزمایش دارد. خروجی‌های مدل ۸ عدد شامل کریپ کمپلینس مخلوط آسفالتی در زمان‌های ۱۰۰، ۵۰، ۲۰، ۵، ۱۰، ۲۰، ۵، ۱ ثانیه و نیز ضریب پواسون است. داده‌های مورد نیاز، به کمک تهیه برنامه های متعدد به زبان SQL، در محیط 2000 ACCESS، از LTPP Database 2007 استخراج شده اند که شامل داده های سری داده‌های آزمایش‌های مصالح سنگی مربوطه و نیز ۹۷۵ سری داده های آزمایش‌های قیر نظیر آنها می باشد

واژه های کلیدی: کریپ کمپلینس، شبکه های عصبی مصنوعی، طراحی مکانیستیک تجربی، آشتو ۲۰۰۲

مقدمه

حساسیت پروژه و نیز امکان در دسترس بودن هزینه و تجهیزات فنی لازم برای انجام آزمایش های مورد نیاز انجام می‌گیرد. به طور کلی در فرایند طراحی روسازی در آشتو ۲۰۰۲، داده های ورودی بر حسب کیفیت، به سه سطح تقسیم می شوند[۵].

سطح مختلف کیفی داده های ورودی مورد نیاز برای طراحی روسازی در آشتو ۲۰۰۲

سطح ۱: در سطح ۱، پارامترهای ورودی لازم برای طراحی روسازی شامل خصوصیات مواد و مصالح، بالاترین کیفیت را داشته و به طور مستقیم توسط انجام آزمایش‌های آزمایشگاهی یا میدانی به دست می آیند. به عنوان مثال، کریپ کمپلینس مخلوط های آسفالتی، با انجام آزمایش کریپ تعیین می شود. ترافیک و بارگذاری نیز به کمک اندازه‌گیری های مستقیم در محل پروژه تعیین می شوند[۵].

سطح ۲: در این سطح، خصوصیات مصالح و عملکرد مخلوط‌های آسفالتی، به جای انجام آزمایش، با روابط تجربی که بر اساس رگرسیون به دست آمده‌اند، تخمین

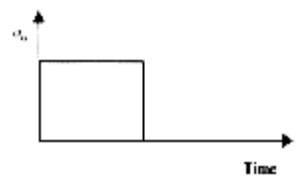
روش های مختلفی برای طراحی روسازی های انعطاف‌پذیر وجود دارد که به دو دسته تجربی و مکانیستیک- تجربی تقسیم می شوند. روش های طراحی روسازی آشتو تا قبل از سال ۲۰۰۲، بر اساس روش تجربی استوار بودند؛ این روش‌ها شامل آشتو ۱۹۶۷، ۱۹۸۶ و ۱۹۹۳ است که مبنای شکل‌گیری آنها معادلات طراحی تجربی به دست آمده از آزمایش بزرگ آشتو می باشد[۱]. اولین طرح تحقیقاتی که برای رشد و توسعه روش مکانیستیک- تجربی شکل گرفت و حمایت مالی شد، پروژه NCHRP 1-26^۱ بود[۲]. روند بهبود و توسعه این روش طی پروژه NCHRP 1-37 ادامه یافت که نتیجه آن راهنمای طراحی روسازی‌های جدید و تعمیر شده به روش مکانیستیک- تجربی AASHTO 2002^۲ بود. شایان ذکر است که راهنمای آشتو ۲۰۰۲ تا سال ۲۰۰۲ تکمیل نشده و روند بازبینی، بهبود و توسعه آن تا کنون ادامه دارد [۳و۴]. یکی از مهم‌ترین نکات قوت راهنمای طراحی مکانیستیک- تجربی آشتو ۲۰۰۲، قابلیت طراحی روسازی‌ها، با استفاده از داده های ورودی با سطوح کیفی مختلف است که انتخاب سطح کیفی مورد نظر، بر اساس www.SID.ir

کریپ کمپلینس Creep Compliance

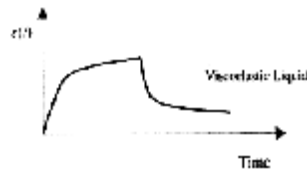
کریپ کمپلینس، از شاخص‌ترین پارامترهای معرف رفتار ویسکوالاستیک مخلوط‌های آسفالتی است که در فرآیند طراحی رو سازی به روش مکانیستیک- تجربی در آشتو ۲۰۰۲، مورد استفاده قرار می‌گیرد. در پروژه LTPP که از داده‌های آزمایشگاهی آن برای این تحقیق استفاده شده است، آزمایش کریپ کمپلینس بر اساس پروتوكول LTPP P07 انجام می‌شود [۷]. که طی آن، نمونه تحت تنش ثابت σ_0 که بع صورت جانبی به نمونه وارد می‌شود قرار گرفته و کرنش ($\epsilon(t)$)، به عنوان تابعی از زمان، در زمان‌های مختلف، اندازه گیری می‌شود. نسبت کرنش ($\epsilon(t)$)، به تنش ثابت σ_0 ، کریپ کمپلینس ($D(t)$) نامیده می‌شود [۸]:

$$D(t) = \frac{\epsilon(t)}{\sigma_0} \quad (1)$$

پاسخ یک نمونه مخلوط آسفالتی، به بارگذاری کریپ در شکل (۲) نشان داده شده است.



الف: بارگذاری با تنش ثابت



ب: کرنش ایجاد شده

شکل ۱: رفتار کریپ در مواد ویسکوالاستیک [۷].

در این آزمایش از نمونه‌های مخلوط آسفالتی ساخته شده یا کرگیری شده با قطر 100 mm برای مخلوط‌های آسفالتی که دارای حداکثر اندازه اسمی کمتر یا مساوی 37.5mm استفاده می‌شود. نمونه‌های ساخته شده قبل از آزمایش باید عمل آوری شده و در اون تحت aging، با استاندارد AASHTO PP2 قرار گیرند [۹ و ۷].

در پروژه LTPP، کریپ کمپلینس در هفت زمان ۱۰۰، ۵۰، ۲۰، ۱۰، ۵، ۲، ۱ ثانیه اندازه گیری شده است.

زده می‌شود. به عنوان نمونه، کریپ کمپلینس مخلوط‌های آسفالتی به کمک روابط ۲ تا ۵ که در بخش مقاله ۳ ارائه شده است به دست می‌آید. یا مدول برجهندگی بستر یا اساس غیر چسبنده، به کمک روابط تجربی بر اساس CBR یا R-value تخمین زده می‌شود [۵].

سطح ۳: در این سطح از طبقه بندی‌های ملی یا محلی برای تخمین خصوصیات صالح استفاده می‌شود. به عنوان نمونه با استفاده از سیستم طبقه‌بندی خاک‌ها در آشتو، می‌توان مدول برجهندگی را به طور تقریبی تخمین زد یا از طبقه بندی تیپ بارهای محوری، برای تخمین بار محوری نرم‌الشده استفاده کرد [۵].

در سال ۲۰۰۶ میلادی طی پروژه ۱-۴۰ NCHRP، فرآیند طراحی رو سازی به روش مکانیستیک آشتو ۲۰۰۲، به طور جامع مورد ارزیابی فنی و اقتصادی قرار گرفت. بر اساس این تحقیق، یکی از مشکلات طراحی رو سازی به این روش، هزینه زیاد و زمان‌مند بودن آن می‌باشد که بخش عمده آن ناشی از انجام آزمایش‌هایی است که انجام آنها در سطح ۱، نیازمند تجهیزات گرانقیمت و پرسنل آموزش دیده و خبره می‌باشد [۴]. از جمله اساسی ترین این آزمایش‌ها کریپ کمپلینس است که علاوه بر فرایند طراحی مکانیستیک آشتو ۲۰۰۲ و ۹۶ [۵ و ۶]، در ارزیابی عملکرد مخلوط‌های آسفالتی در پروژه LTPP ۳ نیز، آزمایشی بنیادی محسوب می‌شود [۶].

شایان ذکر است که LTPP گستردگی ترین پروژه ارزیابی رفتار مخلوط‌های آسفالتی است که از سال ۱۹۸۶ در آمریکا آغاز شده و همچنان ادامه دارد. بنابراین، تهیه و توسعه روابط درونیابی تجربی و یا مدل‌سازی آزمایش‌های گرانقیمت ارزیابی عملکرد رو سازی با سیستم‌های هوشمند که در سطح ۲ به جای انجام این آزمایش‌ها در سطح ۱، مورد استفاده قرار می‌گیرند، می‌تواند گامی مؤثر در کاهش هزینه‌ها و زمان و نیز تسهیل و امکان پذیر کردن فرآیند طراحی به روش مکانیستیک بخصوص در کشورمان ایران باشد. بر این اساس در این تحقیق با استفاده از شبکه‌های عصبی مصنوعی، مدلی جدید برای تخمین کریپ کمپلینس مخلوط‌های آسفالتی، با موفقیت ارائه شده است.

$$Pen_{77} = 10^{290.5013 - \sqrt{81177.288 + 257.0694 \times 10^{(A+2.72973)VTS}}}$$

(5)

در این روابط:

T = دمای آزمایش که 0° و 20° سانتی گراد است.

V_a = فضای خالی مخلوط آسفالتی بر حسب درصد؛

VFA = درصدی از فضای خالی بین سنگانه ها که با قیر

پر شده است و A_{RTFO} = برابر با عرض از مبدأ نمودار

ویسکوزیته - دمای قیر بعد از آزمایش RTFO است،

VTS = شب منحنی ویسکوزیته - دمای قیر است.

باید توجه داشت که حداکثر مقدار m باید به مقدار

0.01 محدود شود [5].

مدل جدید تخمین کریپ کمپلینس مخلوط های آسفالتی

بتن آسفالتی مخلوطی از مصالح سنگی و قیر است و خصوصیات مصالح سنگی، بخصوص منحنی دانه بندی آن که نشان دهنده اسکلت سازه ای بتن آسفالتی است نقشی اساسی در رفتار و عملکرد بتن آسفالتی دارد، اما همان طور که در روابط ۶، ۷ و ۸ دیده می شود، در مدل ارائه شده در آشتو ۲۰۰۲، تاثیر دانه بندی مصالح سنگی، به عنوان اسکلت سازه ای، در کریپ کمپلینس درنظر گرفته نشده است و تنها خصوصیات قیر (مانند ویسکوزیته، درجه نفوذ، A_{RTFO} و VTS) و خصوصیات وزنی - حجمی مخلوط آسفالتی (مانند V_a ، VFA ...) و نیز دمای آزمایش T و زمان بارگذاری t ، به عنوان عوامل مؤثر در کریپ کمپلینس مخلوط آسفالتی در نظر گرفته شده اند. بر این اساس، در این تحقیق، با در نظر گرفتن تأثیر منحنی دانه بندی مخلوط آسفالتی، یک مدل فیزیکی و ریاضی جدید برای پیش بینی کریپ کمپلینس مخلوط های آسفالتی ارائه شده است. این مدل ۱۴ ورودی دارد که در جدول (۲) ارائه شده اند. این ورودی ها شامل در صدهای عبوری منحنی دانه بندی شامل درصد های عبوری از الک های ۱ اینچ، $3/4$ اینچ، $1/2$ اینچ، $3/8$ اینچ، و الک های شماره ۴، ۱۰، 40 ، 80 و 200 و نیز درصد قیر، درجه نفوذ قیر در ۷۷ و ۱۱۵ درجه فارنهایت، اندیس نفوذ قیر و دمای آزمایش است. این مدل دارای ۸ خروجی است که شامل کریپ کمپلینس در زمان های ۱، ۲، ۵،

[۴] و آزمایش در سه دمای 0° ، 10° و 20° سانتی گراد انجام می شود [۴]. استانداردهای مورد استفاده در این آزمایش در جدول (۱) ارائه شده است [۲]. توضیحات بیشتر در مورد این آزمایش در مرجع [۹] ارائه شده است.

جدول ۱: استانداردهای مورد استفاده در آزمایش کریپ [۲].

AASHTO	Application
TP4	Method for Preparing and Determining the Density of Hot Mix Asphalt (HMA) Specimens by Means of the SHRP Gyratory Compactor
PP2	Practice for Mixture Conditioning of Hot Mix Asphalt (HMA)
T67	Standard Practices for Load Verification of Testing Machines (cross-listed with ASTM E4)
T269	Percent Air Voids in Compacted Dense and Open Bituminous Paving Mixtures

مدل موجود تخمین کریپ کمپلینس در آشتو ۲۰۰۲

این مدل به کمک روش درون یابی به دست آمده است. برای تهیه داده های مورد نیاز، از آزمایش کریپ با بار گذاری چند مرحله ای تا زمان ۱۰۰ ثانیه استفاده شده است. برای این منظور از هر مخلوط آسفالتی سه نمونه جدا گانه تهیه شده و روی هر کدام، در یک دمای مشخص، آزمایش کریپ انجام می شود. رابطه درون یابی برای تخمین کریپ کمپلینس مخلوط آسفالتی بدین ترتیب است که ضریب همبستگی آن $R=0.89$ است [۱۰ و ۱۵]:

$$D(t) = D_1 \times t^m \quad (2)$$

که در این رابطه، t زمان بارگذاری بر حسب ثانیه و D_1 ، پارامتر های شکست هستند و عبارتند از:

$$\log D_1 = -8.5241 + 0.01306T + 0.7975 \log V_a + 2.0103 \log VFA - 1.923 \log A_{RTFO} \quad (3)$$

$$m = 1.1628 - 0.00185T - 0.04596V_a - 0.01126VFA + 0.00247Pen_{77} + 0.001683Pen_{77}^{0.4605}T \quad (4)$$

جمع آوری و ذخیره حجم انبوہ داده های جمع آوری شده از پروژه های LTPP، طراحی شده است. این پایگاه یک سیستم اطلاعاتی وابسته و مرتبط است که در بدو کار با نرم افزار Oracle 5 ساماندهی شد و بعد از آن به نرم افزار ناوبری Oracle 9i ارتقاء پیدا کرد. اما به دلیل هزینه زیاد، استفاده از این نرم افزار و در نتیجه قیمت زیاد سی دی های حاوی داده های LTPP که در محیط این نرم افزار ارائه شده بودند، در نسخه های بعدی، حجم بسیار عظیم داده ها به صورت خام و به صورت جداول های متعدد در محیط ACCESS 2000 ارائه شدند.

طیف بسیار وسیع داده های جمع آوری شده تا سال ۲۰۰۷ از حدود ۲۴۰۰ مقطع روسازی نیز در نسخه ۲۰۰۷ LTPP Database که در این تحقیق مورد استفاده قرار گرفته است، به صورت انبوہ جداول خام در محیط ACCESS 2000 ارائه شده اند و به دلیل استفاده نکردن از نرم افزار ناوبری مناسب در نسخه ۲۰۰۷ LTPP، که داده های LTPP از طریق آن قابل جایابی باشند، استخراج داده های مورد نیاز از این پایگاه، با تولید Database های متعدد انجام گرفته است. این مهندس، با ارزیابی های گسترش داده های این نتایج مربوط به ۹۷۵ آزمایش کریپ کمپلینس و ۹۷۵ سری آزمایش های صالح سنگی و ۹۷۵ سری آزمایش های قیر مربوط به نمونه های مخلوط های آسفالتی نظیر آنها، از پایگاه LTPP استخراج شده اند.

مدل شبکه عصبی مصنوعی

همان طور که اشاره شد، دانه بندی صالح سنگی نقش اسکلت سازه ای بتن آسفالتی را دارد. باید توجه داشت که در فرآیند مدل سازی یک آزمایش، تنها به دست آوردن ضریب همبستگی خوب کافی نیست و ارائه مدل فیزیکی مناسب اهمیت اساسی دارد. در مدل ارائه شده در آشتو ۲۰۰۲، هرچند که ضریب همبستگی خوب R=0.89 به دست آمده است اما نقش دانه بندی صالح سنگی که در پاسخ مخلوط آسفالتی به بارگذاری، اساساً نادیده گرفته شده است. در این تحقیق با لحاظ این نقش، مدل جدیدی برای تخمین کریپ کمپلینس ارائه شده است. این مدل ۱۴ ورودی دارد که شامل در صدهای عبوری منحنی دانه بندی صالح سنگی و نیز درصد و

۱۰، ۲۰، ۵۰ و ۱۰۰ ثانیه و ضریب پواسون است که در جدول (۳) ارائه شده اند. همان طور که در مرجع شماره ۲ اشاره شده است، خروجی های آزمایش کمپلینس، می تواند در زمان های مختلف اندازه گیری شود که در پروژه LTPP، این زمان ها لحاظ شده است.

تهیه داده ها

LTPP پایگاه اطلاعاتی

طی دهه ۱۹۸۰، موسسه TRB^۴ وابسته به انجمن تحقیقات ملی، با حمایت مالی FHWA^۵ و همکاری AASHTO^۶، را در زمینه ارزیابی خرابی بزرگراه های ملی و STRS^۷، را با مرکز تحقیق در زمینه توسعه بزرگراه ها SHRP^۸، را با تمرکز بر تحقیق در زمینه بزرگراه ها پیشنهاد کرد. گزارش مطالعات انجام شده در سال ۱۹۸۴، در قالب گزارش ویژه TRB شماره ۲۰۲ با عنوان «پیشنهاد شش حوزه تحقیقاتی برای شتاب دهی تحقیقات و نوآوری در بزرگراه های آمریکا» منتشر شد. که برنامه ارزیابی عملکرد روسازی در دراز مدت (LTPP)، یکی از این حوزه ها بود. طی سال های ۱۹۸۵ تا ۱۹۸۶، پیمانکاران و گروه های تحقیقاتی مختلف طرح های تحقیقاتی خود را با جزئیات تشریح شده، برای برنامه SHRP^۷ ارائه کردند. طرح های تحقیقاتی تفضیلی در طی سال ۱۹۸۶ در قالب گزارش TRB با عنوان «برنامه استراتژیک تحقیقاتی بزرگراه ها- طرح های تحقیقاتی» منتشر شد.

برنامه LTPP، به عنوان یک طرح جامع برای پاسخ گویی به دامنه گسترش دای از اطلاعات مورد نیاز روسازی پایه ریزی شد. برای غلبه بر چالش های ناشی از مطالعات کوتاه مدت روسازی، پروژه LTPP، مطالعات دراز مدت روسازی را در دوره های ۲۰ ساله مد نظر قرار داده است. جمع آوری داده ها در زمینه های مختلف برای نیل به اهداف مورد نظر در راس اهداف LTPP قرار دارد. این داده ها از تقریباً ۲۴۰۰ مقطع روسازی در سراسر ایالات متحده آمریکا و در ۲۸ موضوع مطالعاتی روسازی جمع آوری شده اند.

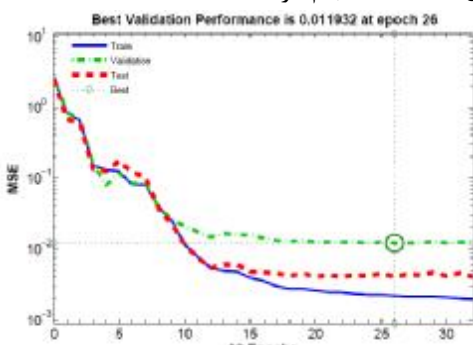
استخراج داده ها از پایگاه اطلاعاتی LTPP
پایگاه ارزیابی عملکرد روسازی ها (LTPP) برای www.SID.ir

برای نرون‌های لایه میانی از تابع انتقال تائزانت سیگموید و نرون‌های لایه خروجی از تابع انتقال خطی استفاده شده است. جهت عملکرد بهتر شبکه، همه داده‌های ورودی و خروجی بین ۱ و -۱ نرمال شده‌اند. تمامی برنامه‌های مورد نیاز در محیط نرم افزار MATLAB R2008a تهیه شده است.

آموزش و ارزیابی روند آموزش و توان شبیه سازی شبکه به صورت کلی

برای آموزش شبکه از الگوریتم انتشار به عقب لونبرگ-مارکواد استفاده شده است. ویژگی قابل توجه و منحصر به فرد الگوریتم لونبرگ-مارکواد این است که سرعت روش نیوتون را با تضمین همگرایی روش بیشترین کاهش، همراه می‌کند [۱۱].

از کل داده‌های موجود که ۹۷۵ سری است، ۶۰٪ آن یا ۵۸۵ داده برای آموزش و حدود ۲۰٪ آن یا ۱۹۵ داده برای ارزیابی توان شبیه سازی شبکه مورد استفاده قرار گرفته است. برای ارزیابی روند آموزش شبکه و جلوگیری از آموزش بیش از حد^۸ و توقف آموزش در بهترین نقطه از نظر داشتن بیشترین توان شبیه سازی، ارزیابی^۹ روند آموزش به کمک ۲۰٪ از داده‌ها که ۱۵۶ سری داده است، انجام گرفته است.



نمودار ۱: روند آموزش و روند تغییرات خطاهای آموزش، ارزیابی و شبیه سازی شبکه.

روند آموزش شبکه در نمودار (۱) ارائه شده است. در این نمودار محور افقی نشان‌دهنده تعداد سیکل‌های آموزش (Epochs) و محور عمودی بیانگر میانگین مربعات خطای (MSE) می‌باشد. خط پیوسته، نحوه تغییرات خطای آموزش را با افزایش تعداد سیکل‌های آموزش، خط-نقطه نحوه تغییرات خطای ارزیابی با افزایش تعداد سیکل‌های آموزش و خط گستته نحوه تغییرات خطای شبیه سازی

خصوصیات قیر مانند درجه نفوذ و... است که در جدول (۲) ارائه شده‌اند. خروجی‌های این مدل خروجی‌های آزمایش کریپ کمپلینس هستند که عبارتند از کریپ کمپلینس در زمان‌های ۱، ۲، ۵، ۲۰، ۱۰، ۵۰، ۱۰۰ ثانیه و ضریب پواسون. بنابراین مدل ۸ خروجی دارد که در جدول (۳) این خروجی‌ها ارائه شده‌اند. بنابراین برای طراحی شبکه، با توجه به تعداد ورودی‌ها که ۱۴ عدد است، در لایه صفر ۱۴ نرون و با توجه به تعداد خروجی‌ها که ۸ عدد است، تعداد نرون‌های لایه خروجی ۸ عدد در نظر گرفته شده است. برای لایه میانی یا لایه پنهان، ۱۵ نرون در نظر گرفته شده است.

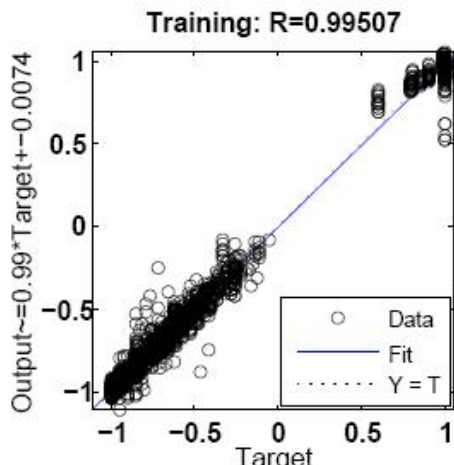
جدول ۲: ورودی‌های شبکه.

INPUTS (OVERALL)	INPUT T #	NETWORK INPUTS
PERCENT PASSINGS FROM AGGREGA TE GRADATIO N CURVE	1	ONE_PASSING
	2	THREE_FOURTHS_PA SSING
	3	ONE_HALF_PASSING
	4	THREE_EIGHTHS_PAS sing
	5	NO_4_PASSING
	6	NO_10_PASSING
	7	NO_40_PASSING
	8	NO_80_PASSING
	9	NO_200_PASSING
ASPHALT PROPERTIE S & TEST TEMPERAT URE	10	ASPHALT_CONTENT
	11	PENETRATION_77_F
	12	PENETRATION_115_F
	13	PENETRATION_INDE X
	14	TEST_TEMPERATURE

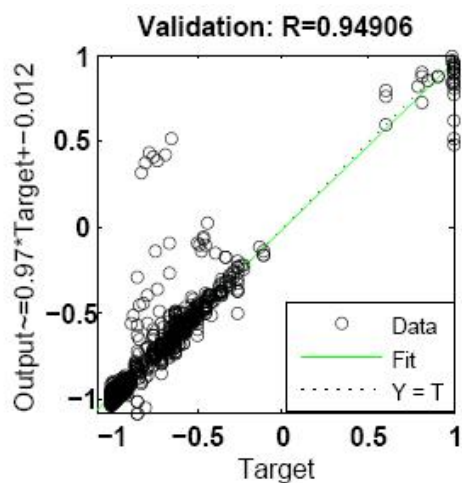
جدول ۳: خروجی‌های شبکه.

OUTPUTS (OVERALL)	OUTPU T #	NETWORK OUTPUTS
CRREP COMPLIAN CE AT DIFFERENT TIMES	1	CREEP_COMP_1_S EC
	2	CREEP_COMP_2_S EC
	3	CREEP_COMP_5_S EC
	4	CREEP_COMP_10_ SEC
	5	CREEP_COMP_20_ SEC
	6	CREEP_COMP_50_ SEC
	7	CREEP_COMP_100_ SEC
POISSON COEFFICIE NT	8	CREEP_POISSON_ CALC

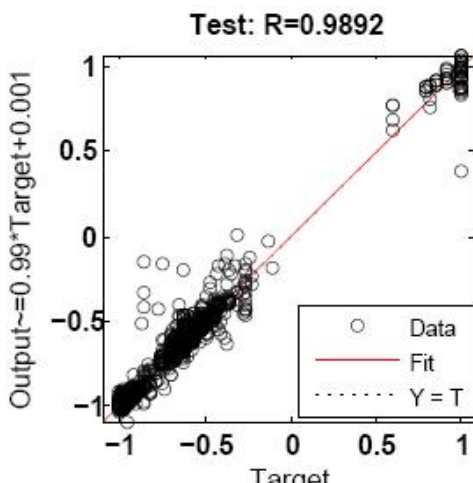
داده های ذکر شده به شبکه، ضریب همبستگی $R=0.9892$ به دست آمده است.



نمودار ۲: نتایج شبیه سازی داده های آموزش.



نمودار ۳: نتایج شبیه سازی داده های ارزیابی.

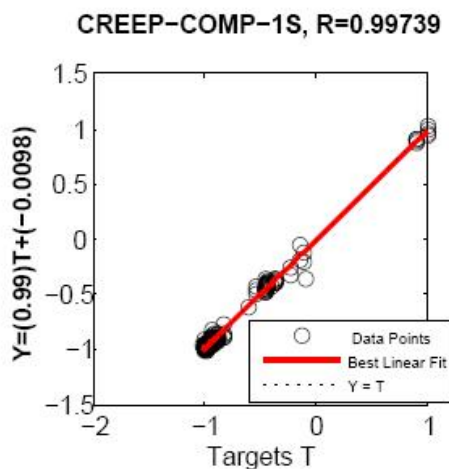


نمودار ۴: نتایج شبیه سازی داده های تست.

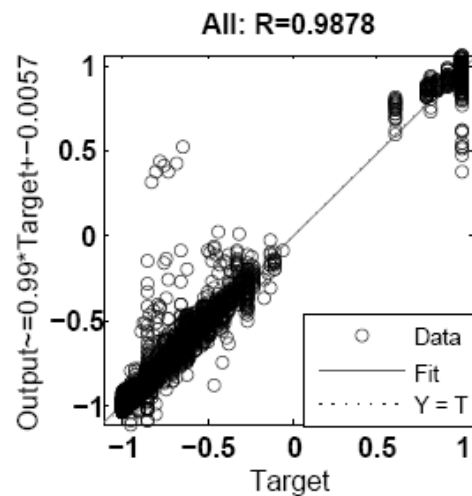
داده های جدید را با افزایش تعداد سیکل های آموزش نشان می دهن. همان طور که دیده می شود، با افزایش تعداد سیکل های آموزش، هر سه خط کاهش می یابند اما برای دستیابی به بیشترین توان شبیه سازی، بر اساس شبیه سازی داده های ارزیابی، روند آموزش در سیکل ۲۶ متوقف می شود که بهترین نقطه از نظر میزان آموزش شبکه می باشد. با ادامه آموزش هر چند که خطای آموزش (خط پیوسته)، کاهش می یابد، اما شبکه دچار آموزش بیش از حد شده و توان شبیه سازی آن برای داده های جدید کاهش می یابد.

پس از آموزش شبکه و دستیابی به بیشترین توان شبیه سازی، توانایی شبکه برای شبیه سازی داده ها ارزیابی شد. برای این منظور در هر مرحله، داده های مورد نظر شانل داده های آموزش، ارزیابی و تست به طور جداگانه و نیز در آخر به صورت یکجا، به عنوان متغیرهای ورودی به شبکه آموزش دیده ارائه شده و نتایج خروجی شبیه سازی شده توسط شبکه با مقادیر واقعی، به کمک انجام رگرسیون خطی مقایسه شده و نتایج به دست آمده در نمودارهای (۲) تا (۵) ارائه شده اند. در این نمودارها، محور عمودی، نشان دهنده خروجی های شبیه سازی شده توسط شبکه و محور افقی نشان دهنده مقادیر واقعی است. خط $Y=T$ به صورت گسسته، خط برازش (Fit) به صورت پیوسته و داده ها توسط دایره کوچک نشان داده شده اند. برای هر نمودار، معادله رگرسیون و ضریب همبستگی محاسبه و ارائه شده است. بدیهی است که هر چه این ضریب به ۱ نزدیک تر باشد، توان شبیه سازی شبکه و مدل ارائه شده بالاتر است.

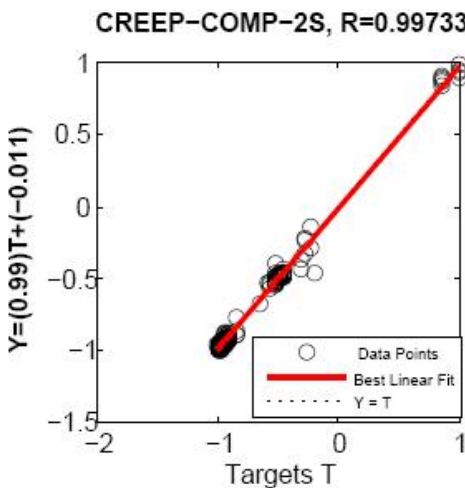
همان طور که در نمودار (۲) مشاهده می شود، ضریب همبستگی برای شبیه سازی داده هایی که برای آموزش شبکه مورد استفاده قرار گرفته اند $R=0.99507$ به دست آمده است. برای ارزیابی توان شبیه سازی شبکه، ضریب همبستگی داده های ارزیابی و خصوصاً داده های تست نقش اساسی دارد. همان طور که در نمودارهای (۳) و (۴) دیده می شود، ضریب همبستگی برای داده های ارزیابی $R=0.94906$ و برای داده های تست شبکه $R=0.9892$ حاصل شده که بسیار خوب است و نشان دهنده موفقیت بسیار خوب مدل فیزیکی و نیز شبکه عصبی مصنوعی طراحی شده برای شبیه سازی آزمایش کربپ کمپلینس در نهایت در نمودار (۵) با ارائه همه سه سری



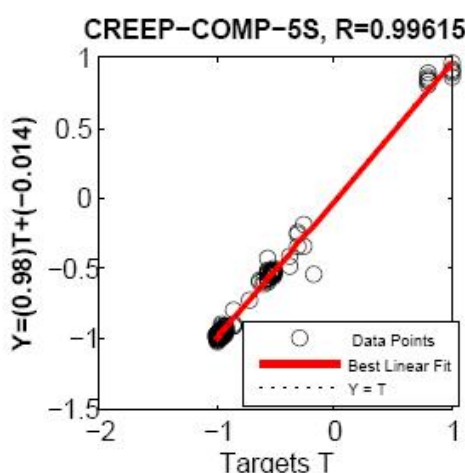
نمودار ۶: نتایج شبیه سازی CREEP_COMP_1_SEC



نمودار ۵: نتایج شبیه سازی تمامی داده ها.



نمودار ۷: نتایج شبیه سازی CREEP_COMP_2_SEC



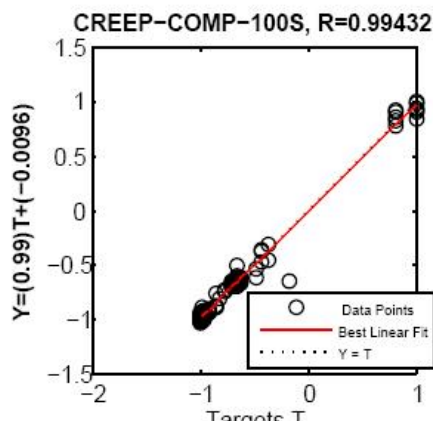
نمودار ۸: نتایج شبیه سازی CREEP_COMP_5_SEC

ارزیابی توان شبیه سازی شبکه برای هر یک از خروجی های آزمایش به طور جداگانه

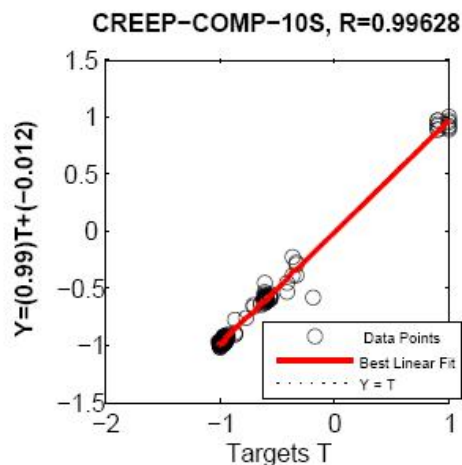
با توجه به موفقیت مدل فیزیکی جدید ارائه شده برای آزمایش کریپ کمپلینس و نیز موفقیت شبکه در شبیه سازی کلی داده ها، توان شبیه سازی شبکه برای هر یک از ۸ خروجی آزمایش به طور جداگانه ارزیابی شدند. برای این منظور ابتدا ۱۹۵ داده جدید به شبکه آموزش دیده ارائه و ۸ خروجی نظری هر سری از این داده ها توسط شبکه شبیه سازی شده است. برای هر یک از خروجی ها به صورت جداگانه، برای مقادیر شبیه سازی شده و مقادیر واقعی نظری آنها، رگرسیون خطی انجام شده است.

نتایج به دست آمده و ضرایب همبستگی و معادلات رگرسیون مربوطه در نمودارهای (۶) تا (۱۳) ارائه شده است.

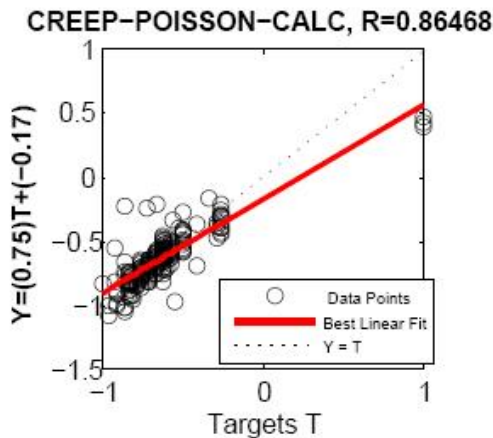
برای درک و مقایسه بهتر همه این نتایج در جدول (۳) جمع بندی و ارائه شده اند. در نمودارهای (۶) تا (۱۳) محور عمودی نشان دهنده مقادیر شبیه سازی شده توسط شبکه و محور افقی نشان دهنده مقادیر واقعی است. خط پیوسته و داده ها توسط دایره کوچک نشان داده شده اند. برای هر نمودار، معادله رگرسیون و ضریب همبستگی محاسبه و ارائه شده است. بدیهی است که هر چه این ضریب به ۱ نزدیک تر باشد، توان شبیه سازی شبکه و مدل ارائه شده بالاتر است.



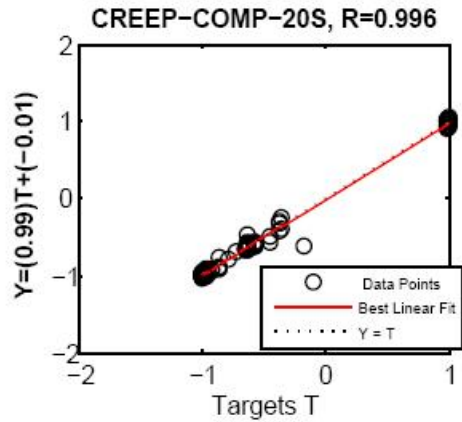
نمودار ۱۲: نتایج شبیه سازی
.CREEP_COMP_100_SEC



نمودار ۹: نتایج شبیه سازی .CREEP_COMP_10_SEC



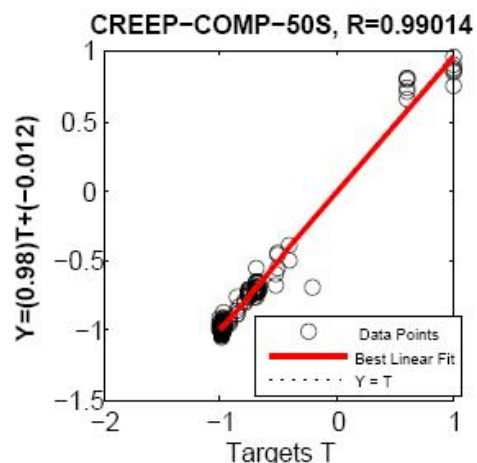
نمودار ۱۳: نتایج شبیه سازی
.CREEP_POISSON_CALC



نمودار ۱۰: نتایج شبیه سازی .CREEP_COMP_20_SEC

جدول ۴: نتایج شبیه سازی هر یک از خروجی های شبکه به طور جداگانه.

OUTP UT #	OUTPUT	R
1	CREEP_COMP_1_SEC	0.99739
2	CREEP_COMP_2_SEC	0.99733
3	CREEP_COMP_5_SEC	0.99615
4	CREEP_COMP_10_SE C	0.99628
5	CREEP_COMP_20_SE C	0.996
6	CREEP_COMP_50_SE C	0.99014
7	CREEP_COMP_100_SE C	0.99432
8	CREEP_POISSON_CA LC	0.86468



نمودار ۱۱: نتایج شبیه سازی .CREEP_COMP_50_SEC

عنوان نمونه برای یک مخلوط آسفالتی، تاثیر درصد عبوری از الک ۲۰۰ بر خروجی‌های آزمایش کریپ کمپلینس توسط شبکه عصبی شبیه سازی شده است. همان طور که در جدول (۵) دیده می‌شود، با تغییر این ورودی، در حالی که سایر ۱۴ ورودی شبکه ثابت نگه داشته شده اند، ۱۲ بردار ورودی به دست آمده است که در این جدول از ۱ تا ۱۲ شماره گذاری و ارائه شده اند. با ارائه این بردارها به شبکه عصبی مصنوعی T15P، بردارهای خروجی نظیر آنها توسط شبکه شبیه سازی شده است. و در نهایت چگونگی تغییرات هر یک از ۸ خروجی آزمایش با درصد عبوری از الک ۲۰۰ به طور جداگانه در نمودارهای (۱۴) تا (۲۱) ترسیم و ارائه شده است. با توجه به اینکه تعداد ورودی‌های شبکه ۱۴ و خروجی‌های شبکه ۸ عدد است، برای مدل‌سازی و ارزیابی تاثیر هر یک از ۸ ورودی‌ها بر هر یک از خروجی‌های شبکه، $R=0.86468$ آنالیز حساسیت انجام شده که نتایج آن ۱۱۲ نمودار نظیر نمودارهای (۱۴) تا (۲۱) ارائه شده‌اند. اما به لحاظ محدودیت حجم مقاله تنها به ارائه نتایج مربوط به درصد عبوری از الک ۲۰۰ که شامل ۸ نمودار است، اکتفا شده است. با انجام آنالیز حساسیت با استفاده از مدل شبکه عصبی مصنوعی طراحی شده، با انتخاب مقادیر مناسب ورودی‌ها، امکان ساخت مخلوط آسفالتی با عملکرد مورد نظر فراهم می‌شود. بدین ترتیب از فرآیند سعی و خطا و انجام آزمایش‌های متعدد جلوگیری شده که گامی اساسی در جهت کاهش هزینه‌ها و زمان است.

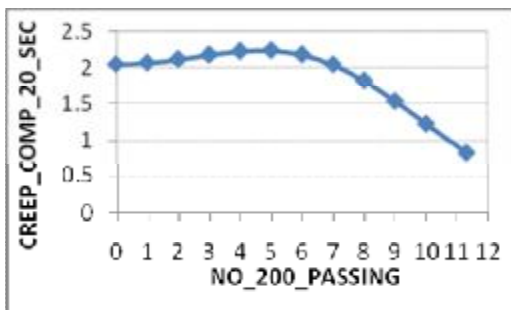
در جدول (۴) نتایج شبیه سازی هر یک از خروجی‌های شبکه که از نمودارهای (۸) تا (۱۳) استخراج و جمع بندی و ارائه شده است. همان طور که در این جدول مشاهده می‌شود، ضرایب همبستگی برای خروجی‌های کریپ کمپلینس در زمان‌های گوناگون که در اولین ستون جدول از سمت راست، در ردیف‌های ۱ تا ۷ جدول ارائه شده اند. همه این ضرائب مقداری بالاتر ۰.۹۹ را داراند که حاکی از توان بسیار بالای شبکه در شبیه‌سازی همه خروجی‌های آزمایش کریپ کمپلینس است. ردیف ۸ جدول حاوی نتیجه محاسبه ضریب پواسون نمونه آسفالتی است که به عنوان یک گزینه اضافی در نظر گرفته شده است و مقدار ضریب همبستگی آن نیز $R=0.86468$ به دست آمده است که مناسب است.

آنالیز حساسیت

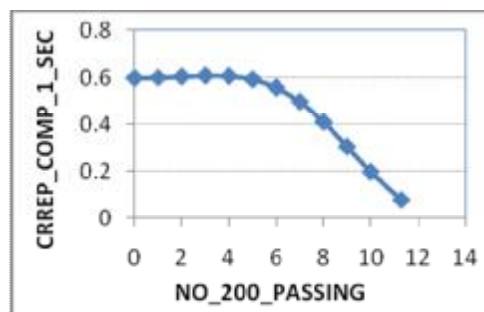
در این قسمت، تأثیر تغییرات هر یک از ورودی‌ها (جدول ۲)، بر هر یک از خروجی‌های آزمایش (جدول ۳) به طور جداگانه، به کمک انجام آنالیز حساسیت توسط شبکه عصبی، شبیه سازی شده است. برای این منظور، برای ورودی مورد نظر مقادیر مختلف در نظر گرفته می‌شود، در حالی که سایر ورودی‌ها ثابت نگه داشته شده اند؛ سپس بردارهای ورودی به دست آمده را به شبکه ارائه کرده و بردارهای خروجی نظیر آنها توسط شبکه، شبیه‌سازی می‌شوند. و در مرحله بعد، منحنی تغییرات هر یک از خروجی‌ها نسبت به ورودی مورد نظر ترسیم شده است. برای تشریح چگونگی انجام آنالیز حساسیت، به

جدول ۵: سری بردارهای ورودی برای آنالیز حساسیت برای شبیه سازی تاثیر درصد عبوری از الک ۲۰۰.

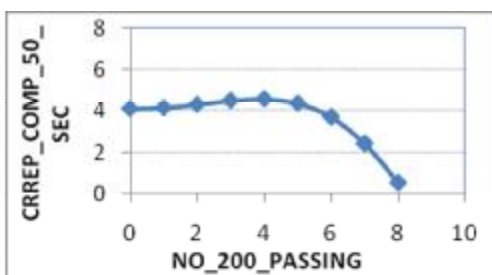
INPUTS	#1	#2	#3	#4	#5	#6	#7	#8	#9	#10	#11	#12
TEST_TEMPERATURE	25	25	25	25	25	25	25	25	25	25	25	25
ONE_AND_HALF_PASSING	100	100	100	100	100	100	100	100	100	100	100	100
ONE_PASSING	100	100	100	100	100	100	100	100	100	100	100	100
THREE_FOURTHS_PASSING	100	100	100	100	100	100	100	100	100	100	100	100
ONE_HALF_PASSING	75	75	75	75	75	75	75	75	75	75	75	75
THREE_EIGHTHS_PASSING	60	60	60	60	60	60	60	60	60	60	60	60
NO_4_PASSING	43	43	43	43	43	43	43	43	43	43	43	43
NO_10_PASSING	35	35	35	35	35	35	35	35	35	35	35	35
NO_40_PASSING	20	20	20	20	20	20	20	20	20	20	20	20
NO_80_PASSING	12	12	12	12	12	12	12	12	12	12	12	12
NO_200_PASSING	0	1	2	3	4	5	6	7	8	9	10	11.3
ASPHALT_CONTENT_MEAN	5	5	5	5	5	5	5	5	5	5	5	5
PENETRATION_77_F	21	21	21	21	21	21	21	21	21	21	21	21
PENETRATION_115_F	144	144	144	144	144	144	144	144	144	144	144	144
PENETRATION_INDEX	0.1	0.1	0.1	0.1	0.1	0.1	0.1	0.1	0.1	0.1	0.1	0.1



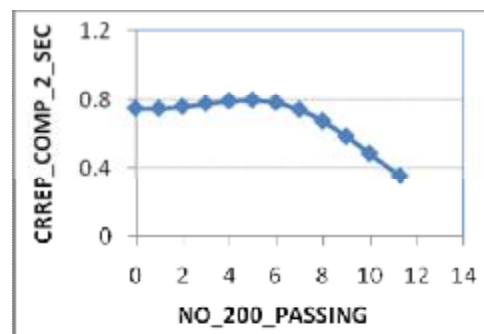
نمودار ۱۸: شبیه سازی تأثیر درصد عبوری از الک ۲۰۰ بر .CREEP_COMP_20_SEC



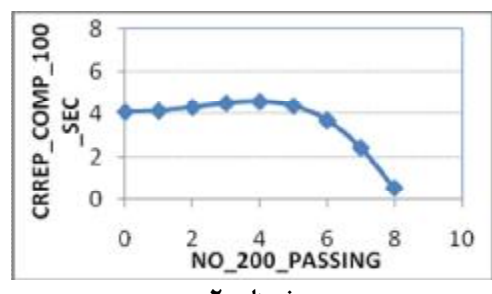
نمودار ۱۴: شبیه سازی تأثیر درصد عبوری از الک ۲۰۰ بر .CREEP_COMP_1_SEC



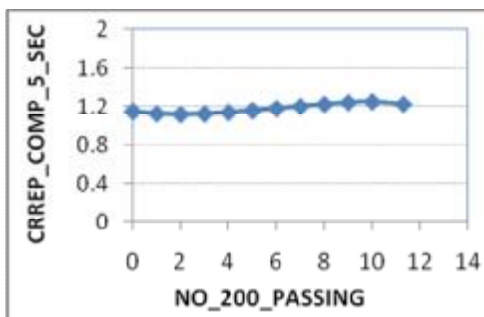
نمودار ۱۹: شبیه سازی تأثیر درصد عبوری از الک ۲۰۰ بر .CREEP_COMP_50_SEC



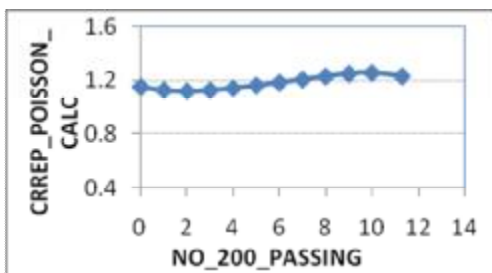
نمودار ۱۵: شبیه سازی تأثیر درصد عبوری از الک ۲۰۰ بر .CREEP_COMP_2_SEC



نمودار ۲۰: شبیه سازی تأثیر درصد عبوری از الک ۲۰۰ بر .CREEP_COMP_100_SEC



نمودار ۱۶: شبیه سازی تأثیر درصد عبوری از الک ۲۰۰ بر .CREEP_COMP_5_SEC

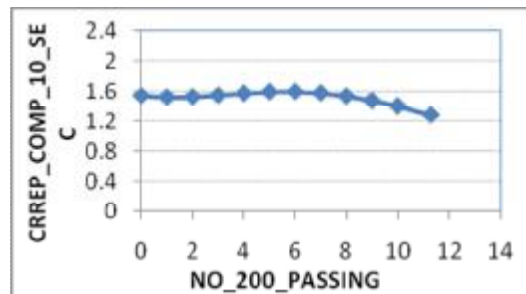


نمودار ۲۱: شبیه سازی تأثیر درصد عبوری از الک ۲۰۰ بر .CREEP_POISSON_CALC

نتایج و تحلیل

الف- استخراج موفقیت آمیز داده های مورد نیاز

۱- استخراج داده های مورد نیاز برای مدل سازی آزمایش کریپ کمپلینس از پایگاه اطلاعاتی LTPP با برنامه



نمودار ۱۷: شبیه سازی تأثیر درصد عبوری از الک ۲۰۰ بر .CREEP_COMP_10_SEC

CREEP_COMP_5_SEC .CREEP_COMP_2_SEC .CREEP_COMP_20_SEC .CREEP_COMP_10_SEC CREEP_COMP_100_SEC,CREEP_COMP_50_SEC و ضرایب همبستگی آنها به ترتیب ۰.۹۹۷۳۳، ۰.۹۹۷۳۹، ۰.۹۹۰۱۴، ۰.۹۹۶، ۰.۹۹۶۲۸، ۰.۹۹۶۱۵، ۰.۹۹۶۰۸، ۰.۹۹۴۳۲، ۰.۹۹۶۴۶، ۰.۹۹۴۶۸ به دست آمده است که نشان از توان بسیار خوب شبکه در مدل سازی خروجی ها دارد. ضرایب همبستگی به دست آمده برای خروجی هشتم که مناسب CREEP_POISSON_CALC است، ۰.۸۶۴۶۸ که با توجه به برتری توانایی پیش بینی مدل ارائه شده با ضریب همبستگی ۰.۹۸۹۲ $R=0.9892$ است و نیز ۰.۸۹۰۲ که ضریب همبستگی آن $R=0.89$ است و نیز توانایی بسیار خوب شبکه در مدل سازی همه خروجی های آزمایش کریپ کمپلینس با ضریب همبستگی بزرگ تر از ۰.۹۹۰۱۴ $R=0.99014$ ، مدل فیزیکی جدید ارائه شده دارای عملکرد عالی بوده و مدل سازی آن با شبکه های عصبی مصنوعی با موفقیت کامل انجام شده است. از آنجایی که ورودی های مدل از ارزان ترین و راحت ترین و کم هزینه ترین آزمایش های صالح سنگی و قیر که دانه بندی صالح سنگی و درجه نفوذ قیر است به دست می آیند، یکی دیگر از ویژگی های اساسی مدل ارائه شده، تخمین کریپ کمپلینس های مخلوط آسفالتی با استفاده از ساده ترین و ارزان ترین ورودی ها است. مزیت دیگر مدل شبکه عصبی مصنوعی ارائه شده این است که محدوده همه ورودی ها مشخص است در حالی که در مدل آشتو ۲۰۰۲ محدوده ورودی ها مشخص نشده است. ضمن اینکه مدل شبکه عصبی ارائه شده، توان تخمین ضریب پواسون را نیز با ضریب همبستگی $R=0.86468$ دارد و مدل درونیابی آشتو ۲۰۰۲ این توانایی را ندارد.

برای طرح و تولید یک مخلوط آسفالتی با کریپ کمپلینس های مورد نظر، به طور معمول از روش سعی و خطا استفاده می شود که فرآیند آن مستلزم ساخت نمونه های متعدد مخلوط های آسفالتی است که نیازمند صرف زمان و هزینه زیاد است. در این تحقیق با ارائه قابلیت انجام آنالیز های حساسیت با استفاده از مدل شبکه عصبی مصنوعی طراحی شده، این امکان فراهم شده است که با انجام آنالیز حساسیت برای هر نمونه مخلوط آسفالتی با استفاده از مدل شبکه عصبی مصنوعی ارائه شده، منحنی تغییرات هر خروجی مورد نظر نسبت به

نویسی و ساخت Database های متعدد، با موفقیت صورت گرفته است. این مهم با ارزیابی و مطالعات گسترده در زمینه ساختار پایگاه اطلاعاتی LTPP و تهیه برنامه های متعدد به زبان SQL در محیط ACCESS 2000 انجام شده است و در نهایت تایج مربوط به ۹۷۵ آزمایش کریپ کمپلینس و ۹۷۵ سری آزمایش های صالح سنگی و ۹۷۵ سری آزمایش های قیر مربوط به نمونه های مخلوط های آسفالتی نظری آنها، از پایگاه LTPP استخراج شده اند.

ب - ارائه مدل فیزیکی جدید برای آزمایش کریپ کمپلینس و مدل سازی موفقیت آمیز آن با شبکه های عصبی مصنوعی

-۲ در این تحقیق یک مدل فیزیکی جدید با لحاظ نقش منحنی دانه بندی صالح سنگی، برای آزمایش کریپ کمپلینس ارائه شده است. برای مدل سازی این مدل، از شبکه عصبی مصنوعی پرسپترون چند لایه پیشرو با ۱۵ نرون در لایه میانی و الگوریتم انتشار به عقب لونبرگ- مارکواد استفاده شده است. همان طور که نمودار های (۱) تا (۵) نشان می دهند. ضریب همبستگی برای شبیه سازی داده های جدید $R=0.9892$ و برای شبیه سازی داده های ارزیابی $R=0.94906$ به دست آمده است که نشان دهنده طراحی و آموزش بسیار خوب و نیز توان بسیار خوب شبکه در شبیه سازی داده های جدید می باشد. ضریب همبستگی برای شبیه سازی داده های جدید $R=0.9892$ است که از ضریب همبستگی مدل آشتو ۲۰۰۲، $R=0.89$ حدود ۹.۲٪ بیشتر می باشد. بنابراین مدل فیزیکی جدید ارائه شده و شبیه سازی آزمایش کریپ کمپلینس بر اساس آن با شبکه های عصبی مصنوعی با موفقیت انجام شده است.

ج - ارزیابی توان شبیه سازی شبکه برای هر یک از خروجی های آزمایش به صورت جداگانه

با توجه به نمودار های (۶) تا (۱۲) و جدول (۳)، نتایج به دست آمده برای ارزیابی توان شبکه برای شبیه سازی خروجی های آزمایش به صورت جداگانه به این شرح است: با توجه به ۸ نمودار از شماره (۶) تا (۱۲) که نتایج آنها در جدول (۳) جمع بندی شده است، نتایج به دست آمده برای ارزیابی توان شبکه برای شبیه سازی ۸ خروجی آزمایش کریپ کمپلینس شامل CREEP_COMP_1_SEC

مکانیستیک حتی در کشورهای پیشرفته مانند آمریکا، هزینه گراف انجام آزمایش‌های اساسی ارزیابی عملکرد روسازی است. با توجه به موفقیت مدل شبکه عصبی مصنوعی ارائه شده در این تحقیق، استفاده از آن در سطح ۲ آشتو ۲۰۰۲ برای تخمین کریپ کمپلینس‌های مخلوط‌های آسفالتی به جای انجام آزمایش، با کاهش هزینه‌ها و زمان، گامی اساسی و بلند در جهت امکان پذیر کردن طراحی روسازی به روش مکانیستیک بخصوص در کشورهایی که فاقد بودجه و تجهیزات مورد نیاز را ندارند، خواهد بود.

تغییرات هر یک از ورودی‌ها ترسیم شود. با داشتن این منحنی‌ها به عنوان ابزار کمکی، با تخمین حدودی درصد مصالح ورودی، امکان ساخت مخلوط آسفالتی با کریپ کمپلینس‌های نزدیک به رفتار مورد نظر را فراهم می‌سازند که گامی اساسی در جهت امکان پذیر کردن طرح و ساخت مخلوط‌های آسفالتی با رفتار مورد نظر و کاهش هزینه‌ها و زمان است.

همان طور که اشاره شد، با توجه به نتایج ارزیابی جامع NCHRP فنی اقتصادی راهنمای آشتو ۲۰۰۲ طی پروژه ۱-۴۰ که نتایج آن در سال ۲۰۰۶ ارائه شد یکی از بزرگترین موانع و مشکلات طراحی روسازی به روش

مراجع

- 1 - AASHTO (1993). *Guide for Design of Pavement Structure*. American Association of State Highway and Transportation Officials.
- 2 - Huang, Y. H. (1992). *Pavement Analysis and Design*. Prentice-Hall, inc., Englewood Cliffs, New Jersey 07632.
- 3 - NCHRP Project 1-37A, (2004). *Mechanistic-Empirical Pavement Design Guide*. American Association of State Highway and Transportation Officials, Washington, D.C.
- 4 - NCHRP Report, Research Results Digest 307, (2006). *Independent Review of the Mechanistic-Empirical Pavement Design Guide and Software*. Transportation Research Board.
- 5 - *Guide for Mechanistic-Empirical Design of New and Rehabilitated Pavement Structures, Part 3. Design Analysis, Chapter 3. Design of New and Reconstructed Flexible Pavements*. (2004). Prepared for National Cooperative Highway research Program, Transportation Research Board, National Research Council, Submitted by ARA, Inc., ERES Consultants Division, 505 West University Avenue, Champaign Illinois 61820.
- 6 - *Long-Term Pavement Performance Information Management System: Pavement Performance Database User Reference Guide*. (2006). Publication No. FHWA-RD-03-088, U.S. Department of Transportation Federal Highway Administration.
- 7 - *LTPP Protocol P07: Test Method for Determining the Creep Compliance, Resilient Modulus and Strength of Asphalt Materials Using the Indirect Tensile Test Device*, Version 1.1. (2001).
- 8 - Papagiannakis, A. T. and Masad, E. A. (2007). *Pavement Design and Materials*. John Wiley & Sons, Inc., Hoboken, New Jersey.
- 9 - NCHRP Report 465. (2002). *Simple Performance Test for Superpave Mix Design*. Transportation Research Board.
- 10 - *Guide for Mechanistic –Empirical Design of New and Rehabilitated Pavement Structures, Final Document, Appendix HH: Field Calibration of Thermal Cracking Model*. (2003). Prepared for National Cooperative Highway Research Program, Transportation Research Board, National Research Council, Submitted by ARA, Inc., ERES Division 505 West University Avenue Champaign, Illinois 61820.
- 11 - Hagan Martin, T. and Demuth, Howard B. (2000). *Neural Network Design*. Mark Beale MHB, Inc. PWS www.SID.ir

واژه های انگلیسی به ترتیب استفاده در متن

- 1 - National Cooperative highway Research Program 1-26
- 2 - American Association of State Highway and Transportation Official
- 3 - Long Term Pavement Performance
- 4 - Transportation Research Board
- 5 - Federal Highway Administration
- 6 - American Association of State Highway Administration
- 7 - Strategic Highway Research Program
- 8 - Over fitting
- 9 - Validation